

# TFE3 重排肾细胞癌 6 例临床病理特征和分子表型分析

Clinicopathological Features and Molecular Phenotype for 6 Cases of Renal Cell Carcinoma with TFE3-Rearranged // QI Xiu-min, WAN Jia-yi, XIAO Yan, XU Rong-rong, CHEN Fang-ming

祁秀敏, 万佳艺, 肖燕, 徐蓉蓉, 陈昉铭  
(无锡市第二人民医院, 江苏 无锡 214002)

**主题词:** 肾肿瘤; MiTF; Xp11.2; TFE3; 融合; 重排; 病理学特征; 分子表型

**中图分类号:** R737.11   **文献标识码:** B

**文章编号:** 1671-170X(2023)01-0076-05

**doi:** 10.11735/j.issn.1671-170X.2023.01.B014

WHO 2016 版肾脏肿瘤分类小眼畸形转录因子(microphthalmia-associated transcription factor, MiTF)家族易位性肾细胞癌包括 Xp11.2 易位/TFE3 基因融合相关性肾细胞癌和 Xp6.11/TFEB 易位相关性肾细胞癌。2022 版 WHO 将 Xp11.2 易位/TFE3 基因融合相关性肾细胞癌命名为 TFE3 重排肾细胞癌。本文回顾性分析 6 例 TFE3 重排肾细胞癌的临床病理学资料, 探讨相关的临床病理学特征、诊断及鉴别诊断、分子生物学特征以及预后, 增强对这类肿瘤的认识, 用于指导临床治疗。

## 1 资料与方法

### 1.1 临床资料

收集无锡市第二人民医院 2016 年 1 月至 2021 年 1 月诊断的 TFE3 重排肾细胞癌病例 6 例。临床资料来自住院病历, 通过电话咨询获得随访资料。男性 4 例, 女性 2 例, 年龄 20~72 岁, 平均年龄 40 岁。临床表现为无痛性肉眼血尿 3 例, 肾区疼痛 1 例, 无明显症状 2 例。影像学检查均提示肾脏实质性占位, 左肾 2 例, 右肾 4 例。6 例 CT 均显示混合密度肿块影, 增强呈不均匀强化。3 例见钙化灶, 1 例伴腹膜后淋巴结肿大。临床分期为 T<sub>1a</sub> 期 3 例, T<sub>1b</sub> 期 2 例, T<sub>3a</sub> 期 1 例。

通信作者: 陈昉铭, E-mail: fmchencoil@126.com  
收稿日期: 2022-10-10; 修回日期: 2022-12-18

### 1.2 方 法

#### 1.2.1 免疫组化

手术标本用 10% 中性福尔马林固定、脱水、石蜡包埋、切片, 进行 HE 及免疫组化染色。免疫组化采用 EnVision 法 5 μm 切片, 常规脱蜡至蒸馏水洗, 0.01 mL 柠檬酸抗原修复液中, 于中火档微波处理 2 次 (5 min/次), 蒸馏水洗, 置于 PBS 中。3% 甲醇-H<sub>2</sub>O<sub>2</sub>, 10 min 蒸馏水洗。滴加特异性一抗, 4 °C 过夜, PBS 漂洗 3 次 (5 min/次)。37 °C 孵育 30 min, PBS 漂洗 3 次 (5 min/次), DAB 显色、苏木精复染, 封片。抗体如下: CA IX、CD10、Cathepsin K、CD117、CK7、P504s、CK(pan)、Vimentin、Ki-67、TFE3、Melan-A、EMA 和 PAX8 均购自福建迈新公司。

#### 1.2.2 FISH 检测

TFE3 基因断裂探针试剂盒购自福建迈新公司。绿色荧光标记 TFE3 基因着丝粒侧, 红色荧光标记 TFE3 基因端粒侧。按照试剂盒说明书进行操作, 5 μm 厚切片, 常规脱蜡至蒸馏水洗。滴加蛋白酶 K (20 μg/mL) 37 °C 消化 20 min, 滴加 3% 甲醇-H<sub>2</sub>O<sub>2</sub> 室温避光孵育 15 min, 滴加预杂交液, 37 °C 孵育 1 h。滴加含 TFE3 分离探针的杂交液, 恒温箱 37 °C 杂交过夜。洗去杂交液, 2×SSC, 37 °C 洗 10 min, 1×SSC, 37 °C 洗 2 次 (5 min/次), 0.5×SSC 室温洗 10 min。滴加封闭液, 室温 30 min。滴加鼠抗地高辛标记过氧化物酶, 37 °C 孵育 50 min, 后 PBS 洗 3 次 (5 min/次)。滴加 FITC-TSA 试剂, 避光室温反应 5 min。TBST 洗 3 次 (10 min/次), PBS 洗 1 次 5 min。切片滴加 DAPI 染液, 避光孵育 8 min, 切片于荧光显微镜下计数观察探针标记信号。

### 1.3 结果判定

#### 1.3.1 免疫组化结果判定

TFE3、PAX8、Ki-67 胞核出现棕黄色为阳性，CD10、Cathepsin K、CD117、P504s、Vimentin、Melan-A 胞质出现棕黄色为阳性，CK7、CA IX、CK(pan)、EMA 胞膜出现棕黄色为阳性。根据染色强度和阳性细胞百分比的乘积综合计分。按照阳性细胞比例计分，<10%为1分，10%~50%为2分，>50%为3分；按照染色强度计分，阴性为0分，淡黄色为1分，中度黄色为2分，棕褐色为3分。根据两者之积计算总分，<3分为阴性，≥3分为阳性。

#### 1.3.2 FISH 及二代测序结果判定

FISH 判读标准：由于 TFE3 断裂探针标记 Xp11.23，使男性和女性患者阳性信号模式不同。男性 TFE3 基因断裂探针的阳性信号模式为 1 个红色和 1 个绿色信号或单红信号，女性 TFE3 基因断裂探针的阳性信号模式为 1 个红色、1 个绿色信号和 1 个黄色(融合)信号或单红信号。TFE3 阴性信号模式示男性为 1 个黄色(融合)信号，女性为 2 个黄色(融合)信号。每个样本计数 100 个细胞，当红绿信号之间的距离>2 个信

号直径时，判读为红绿信号分离。男性阳性细胞比例≥20%，女性阳性细胞比例≥11%时，判读为 TFE3 断裂阳性。

TFE3 基因融合类型采用二代测序技术 NGS 检测平台进行分析 (Illumina, 美国)，使用 Fusion Catcher, Factera, Socrates 三种工具检测 RNA 测序数据的潜在 TFE3 融合位点，采用所有工具综合分析的结果进行确认。

## 2 结 果

### 2.1 随访情况

6 例患者均行腹

腔镜下肾癌根治术，其中 1 例行肾癌根治术加肾上腺切除术。术后均进行电话随访，随访时间 16~50 个月。2 例分别于术后 16 个月、8 个月复发，4 例截至随访时间未见复发 (Table 1)。

### 2.2 病理学检查

巨检：6 例肿物最大者为 5.5 cm×5.2 cm×4.5 cm，最小者为 3.5 cm×3.3 cm×1.5 cm。5 例侵及肾被膜，1 例侵及肾周脂肪组织。大体可见肿瘤组织呈实性，2 例伴囊性区，切面灰黄灰红色，质脆，境界较清楚。

镜检：肿瘤细胞排列成巢状、乳头状、腺泡状，细胞胞浆透明，部分区域胞浆嗜酸性，细胞核呈圆形、卵圆形，可见核仁，间质血管丰富 (Figure 1)。3 例可见砂粒体形成，1 例可见血管内癌栓形成。

### 2.3 免疫组化

6 例肿瘤细胞 TFE3、CD10、PAX8 均呈弥漫强阳性 (Figure 2)，5 例 P504s 呈不同程度的表达，4 例 CA IX 呈不同程度的阳性，5 例 Cathepsin K 阳性，3 例 CK (pan) 阳性，3 例 Vimentin 阳性，3 例 Melan-A 阳性，3 例 EMA 阳性，6 例 CD117、CK7 均阴性，6 例 Ki-67 指数约 5%~20% (Table 2)。

Table 1 Clinical data of 6 patients with TFE3-rearranged renal cell carcinoma

No.	Gender	Age (years old)	Position	Follow up	Molecular phenotype
1	Male	69	Upper pole of right kidney	Survival after 20 months	PRCC-TFE3
2	Female	20	Middle pole of right kidney	Recurrence after 16 months	ASPSKR1-TFE3
3	Male	72	Upper pole of right kidney	Recurrence after 8 months	
4	Male	39	Inferior pole of left kidney	Survival after 26 months	
5	Female	25	Middle pole of right kidney	Survival after 48 months	
6	Male	35	Inferior pole of left kidney	Survival after 50 months	

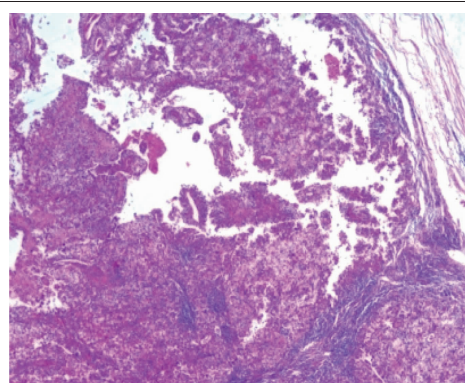


Figure 1 The tumor tissue was composed of transparent cells, arranged in a nest like and papillary structure with eosinophilic cytoplasm in some areas, and nucleoli can be seen (HE×40)

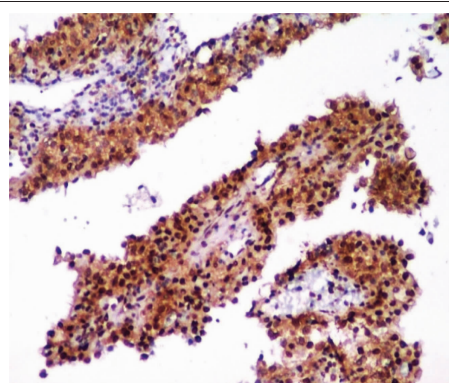


Figure 2 Tumor cells were diffusely and strongly positive for TFE3 (immuno-histochemical EnVision×100)

**Table 2 Immunohistochemical detection data of 6 patients with TFE3-rearranged renal cell carcinoma**

No.	CA IX	CD10	CD117	Cathepsin K	P504s	CK(pan)	Vimentin	Ki-67	PAX8	TFE3	Melan-A	EMA	CK7
1	Partly+	Partly+	-	+	Partly+	-	-	10%	+	+	-	+	-
2	Locally+	+	-	-	+	+	Partly+	5%	+	+	+	-	-
3	+	+	-	+	+	Partly+	Partly+	20%	+	+	Partly+	+	-
4	-	+	-	+	+	-	-	5%	+	+	-	-	-
5	Locally+	Partly+	-	+	-	Partly+	-	10%	+	+	Partly+	-	-
6	-	+	-	+	Partly+	-	Partly+	5%	+	+	-	+	-

## 2.4 分子病理学检测

6例FISH检测均显示TFE3基因断裂(Figure 3)。2例患者进行RNA测序分析，显示1例为PRCC-TFE3融合型，1例ASPSCR1-TFE3融合型。

## 3 讨 论

TFE3重排肾细胞癌是一种罕见类型的肾肿瘤，与普通类型肾细胞癌相比，该类型肿瘤具有独特的临床病理学特征和遗传学特点<sup>[1-2]</sup>。TFE3重排肾细胞癌可发生于各年龄段，多见于儿童和年轻人，成人少见。该类型肿瘤约占40%儿童肾细胞癌及0.5%成人肾细胞癌，发病年龄呈双峰特征，儿童及年轻人的平均年龄为17岁，成人的平均年龄为37岁。相关的发病机制尚不清楚，已知的易感因素有先前暴露于DNA拓扑异构酶Ⅱ抑制剂/铂类为基础的化疗药物或烷基化剂，治疗后潜伏期从2年到13年不等<sup>[3-4]</sup>。

TFE3重排肾细胞癌临床表现与普通类型肾细胞癌无明显差别，主要表现为肉眼血尿、腰痛、腹部肿块、体重减轻。影像学检查为实性混合密度肿块，伴有不均匀强化，有时可伴有钙化。大体上肿块一般界限较清楚，切面呈灰黄灰红色，多形状，可伴有出血坏死。镜下见肿瘤组织主要排列呈实质性巢状、腺泡状和乳头状结构，上述各种生长方式以不同的比例混合存在。肿瘤细胞呈圆形、卵圆形，可见核仁，细胞核可呈高级别，胞浆丰富，部分区域胞浆透明，部分区域胞浆红染，间质血管丰富。不同易位类型的TFE3重排肾细胞癌的组织学形态存在差别。PRCC-TFE3基因融合性肾细胞癌镜下显示，肿瘤细胞由透明细胞组成，排列较致密，细胞边界清晰，细胞核级别低，间质为薄壁血管。ASPSCR-TFE3基因融合性肾细胞癌显示肿瘤细胞排列呈乳头状结构，有纤维血管轴心，胞浆嗜酸性，细胞核增大，核仁突出。本文2例肿瘤组织进行RNA测序分析，1例为PRCC-

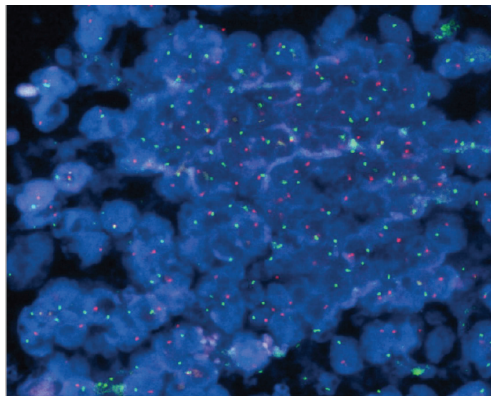


Figure 3 FISH detection showed the separation of red signals and green signals was observed in 66.67% of tumor cells(FISH×200)

TFE3型，1例为ASPSCR-TFE3型，病理形态与分子表型相一致。NONO-TFE3基因融合性肾细胞癌镜下肿瘤细胞排列成腺管状、乳头状或巢状结构，内衬立方至高柱状细胞，细胞呈栅栏状排列，细胞核排列在腔面，远离基底膜，可见核下空泡，核仁不明显，局部可见砂砾体样钙化。RMB10-TFE3基因融合性肾细胞癌表现为上皮样细胞区和小细胞区的双相性特征，排列呈乳头状结构，可以观察到色素。NEAT1-TFE3融合性肾细胞癌呈腺泡状、巢状生长，可见砂粒体，肿瘤细胞呈双相分化，由周边体积大的上皮细胞，中心体积小的上皮样细胞构成，大细胞胞浆嗜酸性，局灶呈空泡状，细胞伴色素沉着。MED15-TFE3类型肾细胞癌呈囊实性结构，肿瘤细胞沿囊壁呈条索状排列，肿瘤细胞胞浆透明，核圆形，核仁明显，间质可见红染的胶原样物，无砂粒体及色素沉着<sup>[5-6]</sup>。

免疫表型显示各种融合类型的TFE3重排肾细胞癌肿瘤细胞恒定表达TFE3、CD10、PAX8，多数病例表达P504s。TFE3弥漫强阳性表达具有高度的特异性，可以与普通类型肾细胞癌鉴别，后者为局灶阳性表达或阴性表达。Cathepsin K是近年来发现的敏

敏感度较好的标志物,作为 *TFE3* 下游调控因子,表达于大多数的 *TFE3* 易位性肾细胞癌。另外,部分 *TFE3* 易位性肾细胞癌可以表达黑色素标志物如 HMB45 和 Melan-A,而 CK(pan)、EMA、Vimentin 常部分表达或不表达。

**分子表型:**这类肿瘤共同特点是 XP11.2 染色体的易位和 *TFE3* 融合基因的产生。FISH 检测均显示 *TFE3* 基因断裂。*TFE3* 基因易位和融合类型非常复杂,已经发现的融合类型包括 ASPSCR1-TFE3, PRCC-TFE3, CLTC-TFE3, SFPQ-TFE3, KAT6A-TFE3, FUBP1-TFE3, EWSR1-TFE3, GRIPAP1-TFE3, RBMX-TFE3, DVL2-TFE3, RBM10-TFE3, NONO-TFE3, MED15-TFE3, NEAT1-TFE3, VCP-TFE3, 还有多种少见的未知融合,包括 t(X;19)(p11.2;q13.1)产生的融合,t(X;3)(p11.2;q23)产生的融合<sup>[7-9]</sup>。各种融合类型产生的融合蛋白在细胞核内保留了 *TFE3* 的 DNA 功能域,发挥转录因子的作用。

**鉴别诊断:**(1)透明细胞性肾细胞癌:通常发生于成年人,大体呈金黄色或灰黄灰红色,镜下主要为透亮细胞排列呈巢状,无乳头状结构,一般不见砂粒体。间质有丰富的纤维血管组织,可有高级别核,坏死,肉瘤样变,免疫组化示 CD10+,CA IX 呈细胞膜弥漫盒状阳性,CK (pan)+,Vimentin+,CK7-或灶+,P504s-,TFE3-;FISH 检测示 3p 缺失、*VHL* 突变,无 *TFE3* 基因断裂。(2)乳头状肾细胞癌:排列呈乳头状结构,间质由多少不等的泡沫细胞构成,根据核级和细胞形态分为 I 型和 II 型。免疫组化 CK7+,TFE3-,CK、EMA、CD10、P504s、Vimentin 均+。FISH 检测示 7、17 染色体三倍体和 Y 染色体缺失。(3)透明细胞乳头状肾细胞癌:肿瘤细胞常位于囊腔内,呈管状,乳头状结构。细胞核常呈低级别,远离基底膜,类似于分泌早期的子宫内膜,胞浆透明,间质可有纤维和平滑肌组织。免疫组化 CA IX 呈杯口状的细胞膜弥漫阳性,腔缘不着色。CD10-或局灶+,CK7 弥漫+,P504s 和 CD10-,TFE3-。(4)*TFEB* 基因融合相关性肾细胞癌:XP11.2 易位/*TFE3* 融合相关性肾细胞癌与 t(6;11)易位性肾细胞癌组织形态上有时可以重叠。*MALAT1-TFEB* 基因融合性肾细胞癌组织学特征是双相型形态,由周边体积大的上皮细胞,中心体积小的上皮样细胞和基膜物质构成,与 *NEAT1-TFE3* 融合性肾细胞癌形态相似。FISH 检测 *TFE3* 和 *TFEB* 基因有无断裂有助于鉴别诊断<sup>[10-12]</sup>。(5)琥珀酸脱氢酶缺陷型肾细胞癌:好发于年轻人,镜下呈实性、巢状或小管状排列,胞质内小空泡或包涵体形成,核膜规则,染色质细腻。免疫组化示 *SDHB* 缺失, PAX8、EMA、CK 部分阳性;CK7、CD117、CD10、CA IX、Vimentin 通常阴性。*SDH* 相关基因突变。(6)上皮样 Pecoma:肿瘤细胞呈多角形,胞质透明或嗜酸性。免疫表型不表达上皮标志物,PAX8、CA IX、CD10 和 AMACR 阴性,表达 Melan-A、MiTF、HMB-45、SMA、*TFE3* 和 *TFEB* 阴性,可以与易位性肾细胞癌鉴别。

**治疗和预后:***TFE3* 重排肾细胞癌无论有无淋巴结转移,手术治疗是首选的治疗方案。辅助治疗是可行的,例如使用细胞因子,包括 IL-2 和 IFN- $\alpha$ ,进行免疫治疗,但疗效并不相同。靶向治疗可能是未来的治疗方向。近来利用全基因组 DNA 和 RNA 测序寻找治疗靶点,为 *TFE3* 重排肾细胞癌精准治疗提供了新的思路<sup>[13]</sup>。*TFE3* 可能通过激活 mTOR 通路发挥作用,mTOR 通路抑制剂和 VEGFR 靶向药物可能对该类肿瘤治疗有效。近年来,*TFE3/IRS-1/PI3K/AKT/mTOR* 作为 *TFE3* 重排肾细胞癌中一种潜在的失调通路,可能通过使用双重 PI3K/mTOR 抑制剂,作为垂直抑制这种信号轴的潜在治疗靶点<sup>[14-15]</sup>。

研究显示,*TFE3* 重排肾细胞癌具有侵袭性临床过程和晚期转移倾向。本文 6 例随访 16~50 个月,2 例复发,4 例未见复发。2 例患者进行 RNA 测序分析,其中 1 例分子融合表型为 ASPSCR1-TFE3 型,于术后 16 个月复发,组织学上排列呈乳头状结构,肿瘤细胞胞浆嗜酸性,细胞核增大,核仁明显;另 1 例为 PRCC-TFE3 型,未见复发转移,组织学显示肿瘤细胞由透明细胞组成,结构致密,细胞核级别低。文献报道,*TFE3* 重排肾细胞癌可能比透明细胞性肾细胞癌具有更强的侵袭性,具有复发转移的特点,术后应密切随访<sup>[16]</sup>。不同类型的 *TFE3* 基因融合预后不同,与 PRCC-TFE3 融合患者相比,ASPSCR1-TFE3 融合相关性肾细胞癌患者更倾向于发生转移。Aldera 等<sup>[17]</sup>报道,少数 *TFE3* 肾细胞癌患者具有惰性的临床生物学行为。Ge 等<sup>[18]</sup>报道 1 例少见的 VCP-TFE3 融合肾细胞癌。VCP-TFE3 易位患者与其他融合类型相比,预后更差,VCP-TFE3 易位患者于诊断后 3 个月死于该病,而其他类型的患者没有疾病进展。因此,*TFE3* 重排肾细胞癌的预后可能与不同类型的分子融合表型密切相关<sup>[19-20]</sup>。目前,由于该类肿

瘤样本量较少,且随访时间不长,仍需长期随访以预测预后和准确判断生物学行为。

综上,TFE3重排肾细胞癌的诊断需要结合临床病史、病理组织学特点、免疫组化和分子生物学检测等。在临床工作中,如果是年轻患者,肿瘤组织伴有钙化,镜下排列呈腺泡状,实性巢状,乳头状等多种结构,细胞核级别高,胞浆透亮,伴有砂粒体形成,免疫组化显示TFE3弥漫强阳性表达,需要考虑TFE3重排肾细胞癌的可能。为了明确诊断,需要进行FISH检测TFE3基因断裂情况。如能检测到TFE3基因断裂,可以诊断TFE3重排肾细胞癌。如有条件可以进一步行基因测序,对TFE3基因融合亚型进一步分类,有利于指导临床治疗和预测预后。

## 参考文献:

- [1] WHO Classification of Tumours Editorial Board. WHO classification of tumours. Urinary and male genital tumours [M]. 5th ed. Lyon: IARC Press, 2022.
- [2] Moch H, Cubilla AL, Humphrey PA, et al. The 2016 WHO classification of tumours of the urinary system and male genital organs part A: renal, penile and testicular tumours [J]. Eur Urol, 2016, 70(1):93–105.
- [3] Xia QY, Wang XT, Zhan XM, et al. Xp11 translocation renal cell carcinomas(RCCs) with RBM10-TFE3 gene fusion demonstrating melanotic features and overlapping morphology with t (6;11) RCC: interest and diagnostic pitfall in detecting a paracentric inversion of TFE3[J]. Am J Surg Pathol, 2017, 41(5):663–676.
- [4] 晋龙,吴义娟,眭玉霞,等. MiTF家族易位性肾细胞癌临床病理分析[J]. 临床与实验病理学杂志,2018,34(10):1095–1099.
- Jin L, Wu YJ, Sui YX, et al. Clinicopathological analysis of MiTF family translocation renal cell carcinoma [J]. Journal of Clinical and Experimental Pathology, 2018, 34 (10): 1095–1099.
- [5] Ye H , Qin S , Li N , et al. A rare partner of TFE3 in the Xp11 translocation renal cell carcinoma: clinicopathological analyses and detection of MED15-TFE3 fusion [J]. BioMed Research International, 2019, 2019: 1–8.
- [6] 葛缩宇,米娟,伍锦凤,等. MiTF家族易位性肾细胞癌10例临床病理分析并文献复习[J]. 临床与实验病理学杂志,2021,37(8):954–959.
- Ge WY, Mi J, Wu JF, et al. MiTF family translocation renal cell carcinoma: a clinicopathologic analysis of 10 cases and literature review[J]. Journal of Clinical and Experimental Pathology, 2021, 37(8):954–959.
- [7] Pei J, Cooper H, Flieder DB, et al. NEAT1-TFE3 and KAT6A-TFE3 renal cell carcinomas, new members of MiTF family translocation renal cell carcinoma[J]. Mod Pathol, 2019, 32(5):710–716.
- [8] Xiong L, Chen X, Liu N, et al. PRCC-TFE3 dual-fusion FISH assay: a new method for identifying PRCC-TFE3 renal cell carcinoma in paraffin-embedded tissue[J]. PLoS One, 2017, 12(9):e0185337.
- [9] 于娟,占蒙娜,侯君,等. MiT家族易位肾细胞癌18例临床病理特征及VHL基因分析[J]. 临床与实验病理学杂志,2020,36(7):803–807.
- Yu J, Zhan MN, Hou J, et al. Clinical pathological characteristics and VHL gene analysis of 18 cases of ectopic renal cell carcinoma in MiT family[J]. Journal of Clinical and Experimental Pathology, 2020, 36(7): 803–807.
- [10] Skala SL, Xiao H, Udager AM, et al. Detection of 6 TFEB-amplified renal cell carcinomas and 25 renal cell carcinomas with MiTF translocations: systematic morphologic analysis of 85 cases evaluated by clinical TFE3 and TFEB FISH assays[J]. Mod Pathol, 2018, 31(1):179–197.
- [11] Zhan HQ, Li ST, Shu Y, et al. Alpha gene upregulates TFEB expression in renal cell carcinoma with t (6;11) translocation, which promotes cell canceration[J]. Int J Oncol, 2018, 52(3):933–944.
- [12] Gupta S, Argani P, Jungbluth AA, et al. TFEB expression profiling in renal cell carcinomas: clinicopathologic correlations[J]. Am J Surg Pathol, 2019, 43(11):1445–1461.
- [13] Slade L, Pulinilkunnil T. The MiTF/TFE family of transcription factors: master regulators of organelle signaling, metabolism, and stress adaptation[J]. Mol Cancer Res, 2017, 15(12):1637–1643.
- [14] Park JS, Lee ME, Jang WS, et al. Gene expression analysis of aggressive adult Xp11.2 translocation renal cell carcinoma at clinical stage T1N0M0 to identify potential prognostic and therapeutic biomarkers[J]. Biomedicines, 2022, 10(2):321.
- [15] Funasaki S, Mehanna S, Ma W, et al. Targeting chemoresistance in Xp11.2 translocation renal cell carcinoma using a novel polyamide-chlorambucil conjugate[J]. Cancer Sci, 2022, 113(7):2352–2367.
- [16] Lee HJ, Shin DH, Kim SY, et al. TFE3 translocation and protein expression in renal cell carcinoma are correlated with poor prognosis[J]. Histopathology, 2018, 73(5):758–766.
- [17] Aldera AP, Ramburan A, John J. TFE3-rearranged renal cell carcinoma with osseous metaplasia and indolent behaviour[J]. Urol Case Rep, 2022, 42:102041.
- [18] Ge Y, Lin X, Zhang Q, et al. Xp11.2 translocation renal cell carcinoma with TFE3 rearrangement: distinct morphological features and prognosis with different fusion partners[J]. Front Oncol, 2021, 11:784993.
- [19] Feng R, Tao Y, Chen Y, et al. Renal cancer associated with Xp11.2 translocation/TFE3 gene fusion: clinicopathological analysis of 13 cases[J]. Ann Diagn Pathol, 2022, 58:151908.
- [20] Chen Y, Yang L, Lu Y, et al. Up-regulation of NMRK2 mediated by TFE3 fusions is the key for energy metabolism adaption of Xp11.2 translocation renal cell carcinoma[J]. Cancer Lett, 2022, 538:215689.